

**Маметьев Леонид Евгеньевич\***, доктор техн. наук, профессор, **Хорешок Алексей Алексеевич**, доктор техн. наук, профессор, **Цехин Александр Михайлович**, кандидат техн. наук, доцент, **Борисов Андрей Юрьевич**, кандидат техн. наук, доцент

Кузбасский государственный технический университет имени Т.Ф. Горбачева,  
650000, Россия, г. Кемерово, ул. Весенняя, 28

\*E-mail: mle.gmk@kuzstu.ru

## **ПОВЫШЕНИЕ МОНТАЖНО-ДЕМОНТАЖНОЙ СПОСОБНОСТИ РАСШИРИТЕЛЕЙ ОБРАТНОГО ХОДА ДЛЯ БУРЕНИЯ ВОССТАЮЩИХ СКВАЖИН**

**Аннотация:** Трудоемкость работ по проведению выработок по восстанию угольного пласта (гезенков, скатов и т.д.) значительно снижается, если по оси выработки на всю высоту этажа предварительно бурится скважина большого диаметра.

Отмечено, что в результате многолетнего научно-технического сотрудничества ученых кафедры ГМиК КузГТУ и производственников ОАО «Анжеромаш» были разработаны конструкции буровых установок типа БГА-2М, БГА-4М, которые прошли всесторонние стеновые и шахтные исследования, испытания и были доведены до серийного производства. Для этих машин спроектировано несколько компоновок буровых инструментов для проведения скважин под углами 45°-90°, диаметрами 0,5 м, 0,85 м, 1,07 м, 1,2 м. При этом основой буровых инструментов являются расширители РР-500 прямого хода и РР-850, РР-1070 и РР-1200 обратного хода, оснащенные режущим инструментом.

Выполнен анализ опыта эксплуатации этих расширителей обратного хода для бурения восстающих скважин большого диаметра по угольным пластам.

Выявлены проблемы, возникающие при демонтаже расширителей обратного хода массой 280-320 кг на сопряжении восстающей скважины с нижним штреком: устье скважины приходится расширять; необходимо оборудовать демонтажную нишу с полком, оснащенным грузоподъемными механизмами.

Разработана конструкция многоступенчатого расширителя со съемными полукорпусами-лучами с породоразрушающим режущим инструментом, а также со съемными полулучами опорно-направляющего фонаря.

Предложена структура и последовательность операций рабочего цикла демонтажа расширителя обратного хода, включающего три этапа демонтажа полукорпусов-лучей и четвертый этап демонтажа полулучей опорно-направляющего фонаря.

Установлены экспериментальные зависимости крутящего момента  $M$ , потребляемой мощности  $N$  и энергоемкости  $H_w$  процессов разбуривания восстающей скважины трехступенчатым резцовым расширителем обратного хода с поэтапным демонтажом его конструктивных элементов.

**Ключевые слова:** буровой станок, расширитель, буровой став, штанга-проставка, полукорпус-луч, породоразрушающий режущий инструмент, опорно-направляющий фонарь, скважина.

**Информация о статье:** принята 24 марта 2021 г.

DOI: 10.26730/1816-4528-2021-4-22-28

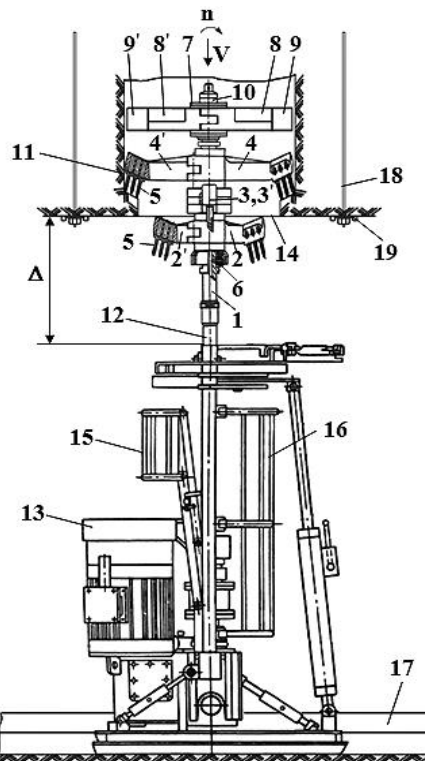
Мировой опыт эксплуатации буровых установок показывает, что в настоящее время актуальным является использование устройств с расширителями прямого и обратного хода при разбуривании восстающих [1-7], горизонтальных и наклонно-направленных скважин [8-15].

Учеными кафедры горных машин и комплексов КузГТУ при научно-техническом сотрудничестве с производственниками ОАО «Анжеромаш» накоплен многолетний опыт в области исследования, проектирования и эксплуатации расширителей обратного хода РР-500, РР-850, РР-1070, РР-1200 для бурения восстающих скважин. Анализ результатов экспериментальных и патентных исследований [1,

2] показал, что одним из наиболее трудоемких процессов являются процессы монтажа и демонтажа расширителей обратного хода массой 280-320 кг. Поэтому для повышения эффективности монтажно-демонтажных работ предложено техническое решение в виде расширителя обратного хода для бурения восстающих скважин [3].

Конструкция расширителя обратного хода (рис. 1) содержит штангу-проставку 1 с двухлучевыми полукорпусами-лучами на трех ступенях: первой 2, 2'; второй 3, 3' и третьей 4, 4'.

На полукорпусах-лучах каждой ступени размещены породоразрушающие режущие инструменты 5. Штанга-проставка 1 содержит форсунки 6 для орошения и корпус-стакан 7, относительно которого



*Рис. 1. Разбуривание восстающей пилот-скважины расширителем*  
*Fig. 1. Drilling a rising pilot well with a reamer*

она имеет возможность свободно вращаться. При этом корпус-стакан 7 спроектирован как втулка, имеющая ступенчатый наружный охватываемый профиль с двумя лысками-канавками для крепления двухлучевого, опорно-направляющего фонаря, состоящего из одинаковых по конструкции съемных полулучей 8, 8' и лыж 9, 9'. Кроме того, в корпусе-стакане 7 размещены два радиальных подшипника, каждый из которых защищен крышкой с уплотнительной манжетой, обеспечивающей защиту от внешних загрязняющих факторов. Вся конструкция полукорпусов-лучей на трех ступенях, включая корпус-стакан 7 со съемными полулучами 8, 8', содержащих лыжи 9, 9', фиксируется при помощи винта 10 к штанге-проставке 1. В процессе разбуривания восстающей пилот-скважины (рис. 1) полукорпусами-лучами 2 и 2', 3 и 3', 4 и 4', включающими по-родоразрушающий режущий инструмент 5, формируется ступенчатый профиль забоя 11. В то же время расширитель обратного хода производит работу посредством бурового става 12 от бурового станка 13, вращаясь со скоростью  $\pi$  относительно оси разбуриваемой скважины и перемещаясь со скоростью  $V$  вдоль оси со стороны верхнего штрека к нижнему. При этом из устья 14 скважины высыпается самотеком разрушенная горная масса с последующим ее направлением посредством ограждений 15, 16 к скребковому конвейеру 17.

При разработке данного расширителя обратного хода учитывался опыт демонтажа существующих конструкций на сопряжении восстающей скважины с нижним штреком [1]. Применяемые расширители обратного хода массой 280-320 кг демонтируются

без разборки на отдельные ступени. Для этого устье скважины приходится расширять, оборудовать демонтажную нишу с деревянным полком, оснащенным грузоподъемными механизмами. Предлагаемое конструктивное решение позволяет устраниить эти недостатки, уменьшить трудозатраты горнорабочих и повысить эффективность демонтажных работ.

Демонтаж данного расширителя обратного хода состоит из четырех этапов, в которых проводится поочередный демонтаж трех разъемных полукорпусов-лучей 2 и 2', 3 и 3', 4 и 4', а также на последнем четвертом этапе выполняется демонтаж съемных полулучей 8, 8' с лыжами 9, 9' опорно-направляющего фонаря. При этом масса одного полукорпуса-луча с режущим инструментом составляет 24-35 кг, а масса одного полулуча опорно-направляющего фонаря – 47-60 кг.

Рабочий цикл демонтажа расширителя обратного хода включает следующие составляющие:

$$T = T_1 + T_2 + T_3 + T_4, \quad (1)$$

где  $T_1$ ,  $T_2$  и  $T_3$  – время циклов, затрачиваемое на демонтаж, соответственно, первой, второй и третьей ступеней расширителя обратного хода;

$T_4$  – время, затрачиваемое на демонтаж опорно-направляющего фонаря.

Кроме того, число ступеней в расширителе обратного хода определяет число циклов для проведения его демонтажа.

Время циклов  $T_1$ ,  $T_2$  и  $T_3$  определяется из выражений:

$$T_1 = t_{p1} + t_{b1} + t_{c1}; \quad (2)$$

$$T_2 = t_{p2} + t_{b2} + t_{c2}; \quad (3)$$

$$T_3 = t_{p3} + t_{b3} + t_{c3}, \quad (4)$$

где  $t_{p1}$ ,  $t_{p2}$  и  $t_{p3}$  – время разбуривания восстающей скважины с выходом 1, 2 и 3 ступеней расширителя обратного хода из устья скважины;

$t_{b1}$ ,  $t_{b2}$  и  $t_{b3}$  – время выбивания пальцев из полукорпусов-лучей 1, 2 и 3 ступеней;

$t_{c1}$ ,  $t_{c2}$  и  $t_{c3}$  – время снятия полукорпусов-лучей 1, 2 и 3 ступеней.

Время цикла  $T_4$  определяется из выражения:

$$T_4 = t_{x4} + t_{b4} + t_{c4} + t_{w}, \quad (5)$$

где  $t_{x4}$  – время холостого, без вращения, осевого перемещения опорно-направляющего фонаря с выходом его полулучей из устья скважины;

$t_{b4}$  – время выбивания пальцев из полулучей опорно-направляющего фонаря;

$t_{c4}$  – время снятия полулучей опорно-направляющего фонаря;

$t_w$  – время снятия штанги-проставки.

Для создания безопасных условий при осуществлении демонтажных работ с расширителем обратного хода предварительно выполняются подготовительные работы. Они включают следующие операции: бурение шпуров под анкерную крепь, установку сталеполимерных анкеров 18 (рис. 1) с решет-

чатой затяжкой, шайбами, гайками и металлическими планками 19 «штрипс» (с W-образным профилем).

Демонтаж первой ступени малого диаметра с разъемными полукорпусами-лучами 2, 2' осуществляется в следующей последовательности.

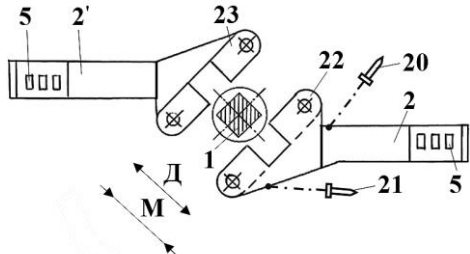


Рис. 2. Демонтаж полукорпусов-лучей  
Fig. 2. Dismantling of the semi-hulls-beams

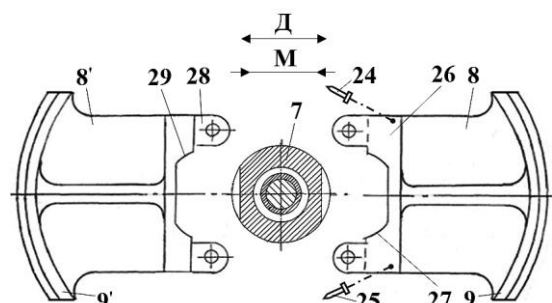


Рис. 3. Демонтаж двухлучевого опорно-направляющего фонаря  
Fig. 3. Dismantling of the two-beam support balancer

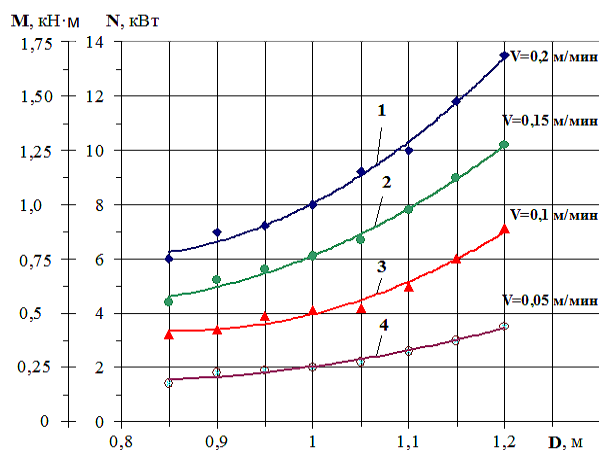


Рис. 4. Зависимости крутящего момента  $M$  и потребляемой мощности  $N$  от диаметра  $D$  трехступенчатого расширителя обратного хода  
Fig. 4. The dependence of the torque  $M$  and the power consumption  $N$  on the diameter  $D$  of the three-stage reverse reamer

ляется в следующей последовательности. Буровой станок 13 (рис. 1) разбуривает скважину до тех пор, когда полукорпуса-лучи 2, 2' выйдут из восстающей скважины в свободное пространство нижнего штрека с обеспечением зазора  $\Delta$  между устьем 14 скважины и буровым станком 13. Затем выключают буровой станок 13 и проводят разборку полукорпусов-лучей 2, 2' (рис. 1, 2), имеющих следующую конструктивную особенность. Первый полукорпус-луч

2 включает в себя пальцы 20, 21 цилиндроконической формы, закрепленные на цепочках, проушины 22, имеющие четыре сквозных соосных отверстия. При этом проушина 22 имеет П-образный внутренний охватываемый профиль, который обеспечивает захват по наружной охватываемой поверхности квадратной формы штанги-проставки 1. Второй полукорпус-луч 2' включает в себя шипы 23 с двумя отверстиями, содержащие П-образный внутренний охватываемый профиль, также обеспечивающий захват по наружной охватываемой поверхности квадратной формы штанги-проставки 1.

Таким образом, в процессе демонтажа первой ступени расширителя осуществляют выбивание пальцев 20, 21 с последующей раздвижкой полукорпусов-лучей 2, 2' по направлению  $\Delta$  и их снятием, что обеспечивает выход П-образных внутренних охватываемых профилей из контактного замкового соединения с наружной охватываемой поверхностью квадратной формы штанги-проставки 1. При этом монтаж полукорпусов-лучей 2, 2' осуществляют по направлению  $M$  с окончательным их закреплением между собой пальцами 20, 21. По аналогии производятся монтажно-демонтажные операции с полукорпусами-лучами 3, 3' и 4, 4' на второй и третьей ступенях расширителя обратного хода, обеспечивая одинаковые технологические операции.

Четвертый заключительный этап включает демонтаж съемного двухлучевого опорно-направляющего фонаря (рис. 3), имеющего следующую конструктивную особенность. Первый полулуч 8 фонаря включает лыжу 9, пальцы 24, 25 цилиндроконической формы, закрепленные на цепочках, и две проушины 26, содержащие четыре сквозных соосных отверстия. При этом проушины 26 жестко соединены друг с другом двумя внутренними охватывающими дуговыми полуцилиндрическими профилями 27, обеспечивающими захват по наружной охватываемой поверхности круглой формы корпуса-стакана 7 штанги-проставки 1 (рис. 1). Второй полулуч 8' фонаря включает лыжу 9', два шипа 28, содержащих два сквозных соосных отверстия. При этом шипы 28 жестко соединены друг с другом двумя внутренними охватывающими дуговыми полуцилиндрическими профилями 29, обеспечивающими захват наружной охватываемой поверхности круглой формы корпуса-стакана 7 штанги-проставки 1.

Проведение демонтажных операций с опорно-направляющим фонарем производится в следующем порядке. При помощи бурового станка 13 (рис. 1) производится спуск опорно-направляющего фонаря с полулучами 8, 8' до тех пор, когда он выйдет из восстающей скважины в свободное пространство нижнего штрека с обеспечением зазора  $\Delta$  между устьем 14 скважины и буровым станком 13. После чего буровой станок 13 выключают и производят процесс демонтажа полулучей 8 и 8' (рис. 3). Первоначально выбивают пальцы 24, 25 цилиндроконической формы из контактного замкового соединения проушин 26 с шипами 28. Далее полулучи 8 и 8' выводят по очереди по направлению  $\Delta$  из контакта с наружной охватываемой поверхностью круглой

Таблица 1. Расчетные зависимости  
Table 1. Calculated dependences

Зависимости (рис. 4)	$R^2$
1 – $N = 42,143 D^2 - 65,893 D + 31,798$	0,9931
2 – $N = 29,048 D^2 - 43,643 D + 20,71$	0,9939
3 – $N = 31,667 D^2 - 54,512 D + 26,802$	0,9804
4 – $N = 10,952 D^2 - 16,976 D + 8,05$	0,9805
1 – $M = 4,4524 D^2 - 6,525 D + 3,1207$	0,974
2 – $M = 5,5714 D^2 - 9,3738 D + 4,564$	0,987
3 – $M = 2,5952 D^2 - 4,0845 D + 2,0022$	0,9722
4 – $M = 2,0952 D^2 - 3,5762 D + 1,7318$	0,9655

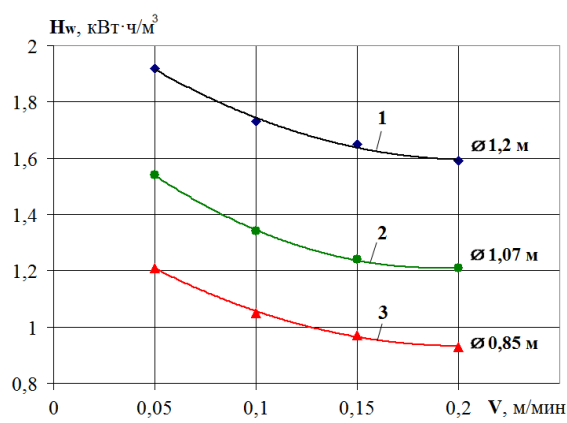


Рис. 5. Зависимость энергоемкости  $H_w$  от скорости разбуривания скважины  $V$   
Fig. 5. The dependence of the energy intensity  $H_w$  on the speed of well drilling  $V$

Таблица 2. Расчетные зависимости  
Table 2. Calculated dependences

Зависимости (рис. 5)	$R^2$
1 – $H_w = 13 V^2 - 5,39 V + 2,1525$	0,9935
2 – $H_w = 17 V^2 - 6,43 V + 1,8175$	0,9993
3 – $H_w = 12 V^2 - 4,84 V + 1,42$	0,9983

формы корпуса-стакана 7 штанги-проставки 1. При этом монтаж полулучай 8 и 8' опорно-направляющего фонаря осуществляют по направлению М с окончательным их закреплением между собой пальцами 24, 25.

На рис. 4, 5 и в табл. 1, 2 приведены экспериментальные зависимости крутящего момента  $M$ , потребляемой мощности  $N$  и энергоемкости  $H_w$  процесса разбуривания восстающей скважины в процессе демонтажа расширителя обратного хода с тремя ступенями 0,85 м, 1,07 м и 1,2 м. В процессе демонтажа на первом этапе скважина разбуривается совместно 1, 2 и 3 ступенями, на втором этапе – 2 и 3 ступенями, а на третьем этапе – 3 ступенью расширителя обратного хода. Зависимости получены по результатам шахтных испытаний при скорости вращения бурового става  $n = 80 \text{ мин}^{-1}$ .

Анализ зависимостей позволил сделать следующие выводы:

- при увеличении диаметра полукорпусов-лучей с 0,85 м до 1,2 м крутящий момент  $M$  и потребляемая мощность  $N$  возрастают в 2,2-2,4 раза;

- при увеличении скорости бурения с  $V = 0,05 \text{ м/мин}$  до  $V = 0,2 \text{ м/мин}$  крутящий момент  $M$  и потребляемая мощность  $N$  возрастают в 3,8-4,3 раза. В этой связи параметр скорости бурения  $V$  является основополагающим при формировании нагрузки на расширителе;

- при демонтаже с увеличением скорости подачи ступеней расширителя со  $V = 0,05 \text{ м/мин}$  до  $V = 0,2 \text{ м/мин}$  энергоемкость  $H_w$  процесса разбуривания скважины уменьшается в 1,2-1,35 раза;

- наиболее энерго затратной  $H_w$  (1,59–1,92 кВт·ч/м³) является третья ступень диаметром 1,2 м расширителя обратного хода, а меньшая энергоемкость  $H_w$  (0,93–1,21 кВт·ч/м³) соответствует первой ступени диаметром 0,85 м.

Таким образом, разработанное конструктивное решение позволит:

- устранить трудоемкие операции по расширению устья скважины, сооружению демонтажной ниши, оборудованию полка, оснащенного грузоподъемными механизмами;

- выполнять демонтажные операции в стесненных условиях при выходе расширителя обратного хода из устья разбуренной восстающей скважины;

- обеспечить совмещение добуривания скважины обратным ходом на полную длину с последовательным демонтажом каждой ступени расширителя в зоне рабочего пространства между забойной лобовой бурового станка и устьем скважины. Кроме того, создается пространство для свободного выхода из скважины и последующего демонтажа в радиальном направлении разъемного опорно-направляющего фонаря;

- уменьшить объемно-массовые показатели и снизить трудоемкость проведения монтажно-демонтажных операций.

#### СПИСОК ЛИТЕРАТУРЫ

1. Зайцев, М.О. Разработка расширителя обратного хода для бурения скважин в условиях пласта двойной шахты им. Ф.Э. Дзержинского / М.О. Зайцев // Россия молодая: сборник матер. VIII Всерос., научно-практ. конф. молодых ученых с междунар. участием «Россия молодая» КузГТУ им. Т.Ф. Горбачева; отв. редактор О.В. Тайлаков. 2016. – С. 36.

2. Расширитель скважин обратного хода : пат. 160664 РФ на полезную модель: МПК Е 21 В 7/28, Е 21 D 3/00 (2006.01) / Цехин А.М., Маметьев Л.Е., Хорешок А.А., Борисов А.Ю. ; патентообладатель Федер. гос. бюджет. образоват. учреждение высш. профессион. образования «Кузбас. гос. техн. ун-т им. Т.Ф. Горбачева» (КузГТУ). – № 2015135343/03 ; заявл. 20.08.2015 ; опубл. 27.03.2016, Бюл. № 9.

3. Расширитель обратного хода для бурения восстающих скважин : пат. 199828 РФ на полезную модель: МПК Е 21 В 7/28 (2006.01) / Маметьев Л.Е., Цехин А.М., Хорешок А.А., Борисов А.Ю. ; патентообладатель Федер. гос. бюджет. образоват. учреждение высш. профессион. образования «Кузбас. гос. техн. ун-т им. Т.Ф. Горбачева» (КузГТУ). – № 2015135343/03 ; заявл. 20.08.2015 ; опубл. 27.03.2016, Бюл. № 9.

им. Т. Ф. Горбачева» (КузГТУ). – № 2019144116 ; заявл. 23.12.2019 ; опубл. 22.09.2020, Бюл. № 27.

4. Расширитель для бурения скважин большого диаметра обратного хода : пат. 158803 РФ на полезную модель: МПК E21B 10/26 (2006.01) / Кабашов А.А., Кабашов С.А. ; патентообладатели Кабашов А.А., Кабашов С.А. – № 2015137605/05; заявл. 03.09.2015; опубл. 20.01.2016, Бюл. № 2.

5. Способ проведения восстающих выработок для транспортировки полезного ископаемого : пат. 2366794 РФ на изобретение: МПК E21B 7/28, E21D 3/00, E21F 13/04 (2006.01) / Федоренко А.И., Сухоруков В.А., Фрянов В.Н., Шенгерец С.В., Сухоруков В.В., Шенгерец Е.Б. ; патентообладатель гос. образоват. учреждение высш. профессион. образования «Сибирский гос. индустр. ун-т». – № 2008119756/03; заявл. 19.05.2008; опубл. 10.09.2009, Бюл. № 25.

6. Способ расширения ствола скважины, компоновка инструмента для его осуществления, раздвижные гидравлические расширитель, центратор и стабилизатор : пат. 2513923 РФ на изобретение: E21B 7/28, E21B 17/10 (2006.01) / Караваевич А.М., Хан С.А., Баранцевич С.В. ; патентообладатель Открытое акционерное общество «Газпром промгаз». – № 2012117202/03; заявл. 27.04.2012; опубл. 20.04.2014, Бюл. № 11.

7. Bolshunov A.V., Dmitriev A.N., Ignatiev S.A. (2019) Enhancement of inertial mechanical reamer for borehole 5G conditioning to penetrate into subglacial lake Vostok. IOP Conference Series: Earth and Environmental Science. International Conference on Innovations and Prospects of Development of Mining Machinery and Electrical Engineering 2019, 012006.

8. Данилов, Б.Б. Способ и буровой инструмент для изменения траектории скважины при шнековом бурении / Б.Б. Данилов, Б.Н. Смоляницкий // Вестник Сибирского государственного университета путей сообщения. – 2017. – № 1 (40). – С. 66-73.

9. Максимов, А.С. Расширение технических возможностей установки горизонтально-направленного бурения / А.С. Максимов, Д.С. Семкин // Техника и технологии строительства. – 2017. – № 2 (10). – С. 38-43.

10. Устройство для бурения наклонно-направленных и горизонтальных скважин : пат. 200806 РФ на полезную модель: МПК E21B 4/02, E21B 7/08 (2006.01) / Новгородцев В.В. ; патентообладатель Общество с ограниченной ответственностью «Инновационные Буровые Технологии» (ООО «Ин-БурТех»). – № 2020127152; заявл. 09.07.2019; опубл. 12.11.2020, Бюл. № 32.

11. Капаев, Р.А. Особенности выбора расширителей пилотной скважины для строительства переходов трубопроводов / Р.А. Капаев, Д.Р. Вафин, З.З. Шарафутдинов, Д.А. Шаталов // Территория Нефтегаз. – 2018. – № 7-8. С. 82-94.

12. Расширитель режуще-уплотняющий пластинчатый : пат. 201325 РФ на полезную модель: E21B 7/28 (2006.01) / Калинин В.В., Калинин О.В., Калинин А.В., Чухряев Н.П. ; патентообладатели Калинин В.В., Чухряев Н.П. – № 2020109321; заявл. 02.03.2020; опубл. 09.12.2020, Бюл. № 34.

13. Soil thrust boring plant of static action with ring spacers of horizontal wells / V.A. Penchuk, V.K. Rudnev, N.V. Saenko, V.N. Suponev, V.I. Oleksyn, S.P. Balesniy, S.M. Vivchar // Инженерно-строительный журнал. – 2015. – № 2 (54). – С. 100-107.

14. Wiśniowski R., Ziaja Ja., Druzgała A. (2018) Horizontal directional drilling (HDD) and intersect drilling method on a practical example. 18th International Multidisciplinary Scientific GeoConferences SGEM 2018. Conference proceedings, pp. 119-124.

15. Danilov B.B., Smolyanitsky B.N., (2015) Cheshchin D.O. Justification of basic diagrams of horizontal drilling deflectors. Journal of Mining Science. Volume 51. Issue 3. pp. 553-561.

**Leonid E. Mametyev\***, Dr. Sc. (Engineering), Professor, **Aleksey A. Khoreshok**, Dr. Sc. (Engineering), Professor, **Alexander M. Tsekhin**, C. Sc. (Engineering), Associate Professor, **Andrey Yu. Borisov**, C. Sc. (Engineering), Associate Professor

T.F. Gorbachev Kuzbass State Technical University, 28 Vesennaya Street, Kemerovo, 650000, Russian Federation

\*E-mail: mle.gmk@kuzstu.ru

## **INCREASING THE MOUNTING AND DISMOUNTING CAPACITY OF REVERSE-STROKE REAMERS FOR DRILLING RISING WELLS**

**Abstract:** The labor intensity of work when driving the workings to the rise of the coal seam is significantly reduced if a large-diameter well is pre-drilled along the axis of the working for the entire height of the floor.

It is noted that as a result of many years of scientific and technical cooperation of scientists from the KuzSTU Department of Mining machines and complexes and Anzheromash producers, the designs of drilling rigs BGA-2M, BGA-4M were developed. The drilling rigs were subjected to bench and mining studies and tests and were brought to serial production. For these machines, several configurations of drilling tools are designed for drilling wells at angles 45°-90°, with diameters 0.5 m, 0.85 m, 1.07 m, 1.2 m. At the same time, the drilling tools are based on forward-stroke reamers PP-500 and reverse-stroke reamers PP-850, PP-1070 and PP-1200 flow, equipped with cutting tools.

*The analysis of the operational experience of these reverse-stroke reamers for drilling large-diameter rising wells in coal seams is carried out.*

*The problems that arise during the dismantling of the reverse-stroke reamers weighing 280-320 kg at the interface of the rising well with the lower coal heading are identified: the wellhead has to be expanded; the dismantling niche with a deck needs to be arranged and equipped with lifting mechanisms.*

*The design of a multi-stage reamer with removable half-hull-beams with a rock-breaking cutting tool, and also with removable half-beams of a support-guide balancer has been developed.*

*The structure and sequence of operations for the working cycle of the reverse-stroke reamer dismantling including three stages of dismantling the half-hull-beams and the fourth stage of dismantling the half-beams of the support-guide balancer are proposed.*

*The experimental dependences of the torque  $M$ , power consumption  $N$  and energy intensity  $H_w$  of the processes of reaming the rising well with a three-stage reverse-stroke reamer with step-by-step dismantling of its structural elements are established.*

**Keywords:** drilling machine, reamer, drilling rig, drill rod, half-hull-beam, rock-breaking cutting tool, support-guide balancer, well.

**Article info:** received March 24, 2021

DOI: 10.26730/1816-4528-2021-4-22-28

#### REFERENCES

1. Zajcev, M.O. Razrabotka rasshiritelya obratnogo hoda dlya burenija skvazhin v usloviyah plasta dvojnoj shafty im. F. E. Dzerzhinskogo / M.O. Zajcev // Rossiya molodaya: sbornik mater. VIII Vseros., nauchno-prakt. konf. molodyh uchenyh s mezhdunar. uchastiem «Rossiya molodaya» KuzGTU im. T.F. Gorbacheva; otv. redaktor O.V. Tajlakov. 2016. – P. 36.
2. Rasshiritel' skvazhin obratnogo hoda: pat. 160664 RF na poleznuyu model': MPK E 21 B 7/28, E 21 D 3/00 (2006.01) / Tsekhin A.M., Mametyev L.E., Khoreshok A.A., Borisov A.Yu. ; patentoobladatel' Feder. gos. byudzhet. obra-zovat. uchrezhdenie vyssh. profession. obrazovaniya «Kuzbas. gos. tekhn. un-t im. T. F. Gorbacheva» (KuzSTU). – № 2015135343/03; zayavl. 20.08.2015; opubl. 27.03.2016, Byul. № 9.
3. Rasshiritel' obratnogo hoda dlya burenija vosstavushchih skvazhin: pat. 199828 RF na poleznuyu model': MPK E 21 B 7/28 (2006.01) / Mametyev L.E., Tsekhin A.M., Khoreshok A.A., Borisov A.Yu. ; patentoobladatel' Feder. gos. byudzhet. obrazovat. uchrezhdenie vyssh. obrazovaniya «Kuzbas. gos. tekhn. un-t im. T. F. Gorbacheva» (KuzSTU). – № 2019144116; zayavl. 23.12.2019; opubl. 22.09.2020, Byul. № 27.
4. Rasshiritel' dlya burenija skvazhin bol'shogo diametra obratnogo hoda: pat. 158803 RF na poleznuyu model': MPK E21B 10/26 (2006.01) / Kabashov A.A., Kabashov S.A.; patentoobladateli Kabashov A.A., Kabashov S.A. – № 2015137605/05; zayavl. 03.09.2015; opubl. 20.01.2016, Byul. № 2.
5. Sposob provedeniya vosstavushchih vyrabotok dlya transportirovki poleznogo iskopae-mogo: pat. 2366794 RF na izobretenie: MPK E21B 7/28, E21D 3/00, E21F 13/04 (2006.01) / Fedorenko A.I., Suhorukov V.A., Fryanov V.N., Shengerej S.V., Suhorukov V.V., Shengerej E.B.; patentoobladatel' gos. obrazovat. uchrezhdenie vyssh. profession. obrazovaniya «Sibirskij gos. industr. un-t». – № 2008119756/03; zayavl. 19.05.2008; opubl. 10.09.2009, Byul. № 25.
6. Sposob rasshireniya stvola skvazhiny, komponovka instrumenta dlya ego osushchestvleniya, razdvizhnye gidravlicheskie rasshiritel', centrator i stabilizator: pat. 2513923 RF na izobretenie: E21B 7/28, E21B 17/10 (2006.01) / Karasevich A.M., Han S.A., Barancevich S.V.; patentoobladatel' Otkrytoe akcionernoe obshchestvo «Gazprom promgaz». – № 2012117202/03; zayavl. 27.04.2012; opubl. 20.04.2014, Byul. № 11.
7. Bolshunov A.V., Dmitriev A.N., Ignatiev S.A. (2019) Enhancement of inertial mechanical reamer for borehole 5G conditioning to penetrate into sub-glacial lake Vostok. IOP Conference Series: Earth and Environmental Science. International Conference on Innovations and Prospects of Development of Mining Machinery and Electrical Engineering 2019, 012006.
8. Danilov, B.B. Sposob i burovoj instrument dlya izmeneniya traektorii skvazhiny pri shnekovom burenii / B.B. Danilov, B.N. Smolyanickij // Vestnik Sibirskego gosudarstvennogo universiteta putej soobshcheniya. – 2017. – № 1 (40). – pp. 66-73.
9. Maksimov, A.S. Rasshirenie tekhnicheskikh vozmozhnostej ustankovki gorizonta'lno-napravленного burenija / A.S. Maksimov, D.S. Semkin // Tekhnika i tekhnologii stroitel'stva. – 2017. – № 2 (10). – pp. 38-43.
10. Ustrojstvo dlya burenija naklonno-napravленных i gorizonta'lnykh skvazhin : pat. 200806 RF na poleznuyu model': MPK E21B 4/02, E21B 7/08 (2006.01) / Novgorodcev V.V. ; patentoobladatel' Obshestvo s ogranicennoj otvetstvennostyu «Innovacionnye Burovyje Tekhnologii» (OOO «InBur-Tekh»). – № 2020127152; zayavl. 09.07.2019; opubl. 12.11.2020, Byul. № 32.
11. Kapaev, R.A. Osobennosti vybora rasshiritelej pilotnoj skvazhiny dlya stroitel'stva perekhodov truboprovodov / R.A. Kapaev, D.R. Vafin, Z.Z. Sharafutdinov, D.A. Shatalov // Territoriya Neftegaz. – 2018. – № 7-8. pp. 82-94.

12. Rasshiritel' rezhushche-uplotnyayushchij plastinchatyj : pat. 201325 RF na poleznuyu model': E21B 7/28 (2006.01) / Kalinin V.V., Kalinin O.V., Kalinin A.V., Chuhryaev N.P. ; patentooobladatel' Kalinin V.V., Chuhryaev N.P. – № 2020109321; zayavl. 02.03.2020; opubl. 09.12.2020, Byul. № 34.

13. Soil thrust boring plant of static action with ring spacers of horizontal wells / V.A. Penchuk, V.K. Rudnev, N.V. Saenko, V.N. Suponev, V.I. Oleksyn, S.P Balesniy, S.M. Vivchar // Magazine of Civil Engineering. – 2015. – № 2 (54). – pp. 100-107.

#### **Библиографическое описание статьи**

Маметьев Л.Е., Хорешок А.А., Цехин А.М., Борисов А.Ю. Повышение монтажно-демонтажной способности расширителей обратного хода для бурения восстающих скважин // Горное оборудование и электромеханика – 2021. – № 4 (156). – С. 22-28.

14. Wiśniowski R., Ziaja Ja., Druzgała A. (2018) Horizontal directional drilling (HDD) and intersect drilling method on a practical example. 18th International Multidisciplinary Scientific GeoConferences SGEM 2018. Conference proceedings, pp. 119-124.

15. Danilov B.B., Smolyanitsky B.N., (2015) Cheshchin D.O. Justification of basic diagrams of horizontal drilling deflectors. Journal of Mining Science. Volume 51. Issue 3. pp. 553-561.

#### **Reference to article**

Mametyev L.E., Khoreshok A.A., Tsekhan A.M., Borisov A.Yu. Increasing the mounting and dismounting capacity of reverse- stroke reamers for drilling rising wells. Mining Equipment and Electromechanics, 2021, no.4 (156), pp. 22-28.